Journal of Xiamen University (Natural Science)

新型 MWNT-TiO₂:Ni 复合催化剂光催化分解 甲醇水溶液制氢的研究

欧 延1*,林敬东2*,廖代伟2

(1. 泉州远东检验技术有限公司,福建 泉州 362000;2. 厦门大学化学化工学院,福建 厦门 361005)

摘要:采用改进化学气相沉积法(CVD)合成了 MWNT-TiO2:Ni 复合光催化剂,利用扫描电镜(SEM)和拉曼光谱(Raman)对催化剂进行表征,考察催化剂的光催化分解甲醇水溶液制氢的活性,并对其光催化机理进行了初步分析. 研究表明,多壁碳纳米管(MWNTs)原位生长能显著提高二氧化钛(TiO2)的光催化制氢能力. 当 MWNTs 的含量为 4.4%时,催化剂的紫外光催化活性达到最大,光量子效率为 4.8%. 其反应机理解释为 MWNTs 的"氢溢流"效应,促进光生电子从 TiO2 向 MWNTs 转移,降低光生电子一空穴对的快速复合;同时,MWNTs 生长有利于提高复合光催化剂的光吸收能力.

关键词:多壁碳纳米管;二氧化钛;复合光催化剂;甲醇水溶液;制氢

中图分类号:0 642

文献标志码:A

文章编号:0438-0479(2011)S-0045-04

由于矿石燃料的广泛应用,造成了严重的环境污染,而且其储量也越来越少.人类面临能源日益枯竭的危机,寻找新的、可再生的能源迫在眉睫.氢能是一种清洁无污染、储量丰富的能源,是最理想的清洁燃料之一^[1].因此,人们正在积极寻找一种方便又廉价的方法来制氢,如光催化制氢、生物质制氢、天然气转化等等.在这些技术当中,光催化制氢由于它利用太阳能、制氢过程污染少等优点引起人们的广泛关注,其研究范围从光电催化制氢^[2-3]到光生物分解水制氢^[4-5].然而,截止目前光催化剂的光量子效率低仍是主要存在的问题.对此许多研究尝试已在进行并取得了一定成果,如在催化剂表面负载贵金属^[6]、表面超强酸化^[7]、金属/非金属离子掺杂^[8]、半导体耦合^[3]等等.

 TiO_2 是目前为止研究最为广泛的光催化剂,通常在贵金属 Pt、Pd 等协助下有较好的光催化活性,但是由于负载贵金属的成本较高,推广应用困难,因此大量的研究工作朝着设计合成新型高效光催化剂进行,MWNT- TiO_2 体系就是其中之一. Ou 等^[9] 在 TiO_2 表面原位生长 MWNTs,发现该复合光催化剂有较好的可见光活性. Wang 等^[10] 和 Yu 等^[11] 认为 MWNTs 可以有效地转移电子,阻止 TiO_2 的光生电子一空穴对的快速复合,有较好的应用前景.

收稿日期:2011-05-30

*通信作者:tommy.ou@fttsc.com.cn.jdlin@xmu.edu.cn

本文利用改进化学气相沉积法在 TiO₂ 表面原位 生长 MWNTs,考察了 MWNT-TiO₂:Ni 新催化体系 在紫外光照射下催化分解甲醇水溶液制氢的活性.

1 材料与方法

1.1 光催化剂的合成和活性评价

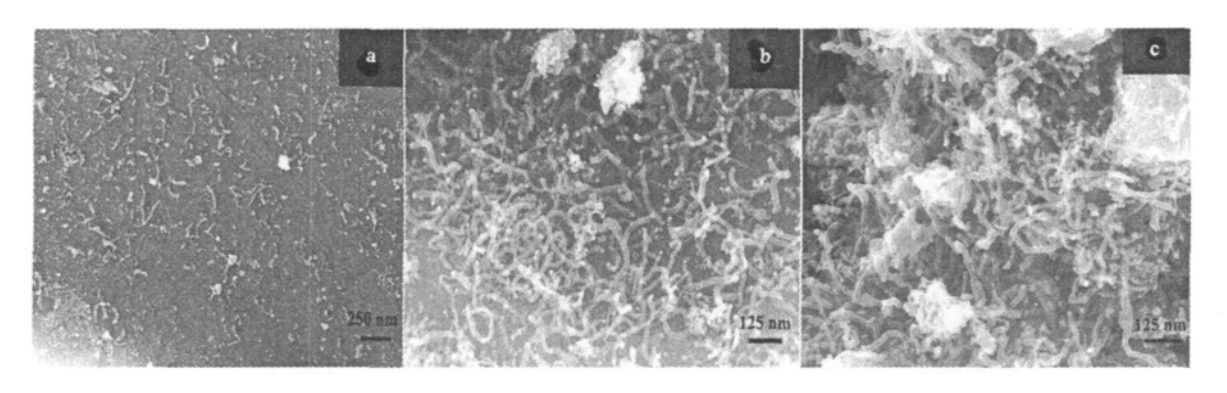
 $MWNT-TiO_2: Ni$ 采用聚合络合法 (PCM) 制备 $NiO-TiO_2$ 前驱,然后用改进化学气相沉积法原位生长 碳纳米管,催化剂的活性评价在一套自制的用于光催 化制氢的常压连续反应在线测试系统上进行 [9].

紫外光反应的表观量子产率(Φ)依照方程式: Φ = (AR/I)×100%计算,该式假定所有的入射光子都被反应体系所吸收,其中 A、R 和 I 表示光反应系数.以氢气计算 Φ 时 A=2,R 表示氢气产生速率($\mathrm{mol/h}$),I 表示在 $300<\lambda<400$ nm 波长范围的吸收入射光子速率(I=5. 28×10^{22} photons/h,根据灯管产品说明书).

催化剂的表观活化能计算:测得催化剂在 4 个反应温度(30,40,50,60 $^{\circ}$)下的各自氢气生成速率,通过作 $\ln(\nu_{\rm H_2})-1/T$ Arrhenius 图,其直线斜率即为表观活化能.

1.2 光催化剂的表征

催化剂中碳纳米管的含量通过在 Netzsch STA $449\ C$ 同步热分析仪上测量样品的重量损失计算,空气气氛,升温范围为 $25\sim1\ 000\ C$,升降温速率均为 10



a. 1st-MWNT-TiO2: Ni; b. 2nd-MWNT-TiO2; c. 3rd-MWNT-TiO2: Ni.

图 1 MWNT-TiO₂:Ni 复合光催化剂的 SEM 图

Fig. 1 SEM images of MWNT-TiO₂: Ni composite catalysts

℃/min. 样品的微观形貌采用 LEO 1530 场发射扫描 电子显微镜观测. Raman 光谱测试在 Renishaw UV-Vis Raman System 1000R 仪器上进行,波长 514. 5 nm 的氩离子激光器的强绿线作为光源,输出功率 7 mW,CCD 检测器.

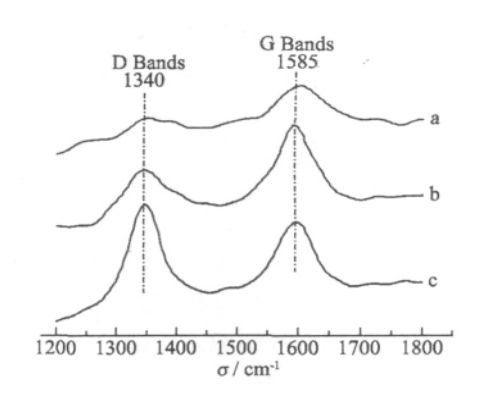
2 实验结果

2.1 光催化剂的 SEM 图

利用扫描电子显微镜观测催化剂的表面形貌,3次生长碳纳米管的催化剂表面情况见图 1. 可以看出,碳纳米管是采取顶端生长模式,均匀分散生长在 TiO_2 表面,且碳纳米管与金属 Ni 颗粒有着很好的一一对应的关系,同时也可以发现仍然有许多的 Ni 颗粒单独存在而没有生长碳纳米管. 在图 1b 上选取各个金属 Ni 和碳纳米管的直径数据并用 Gaussian 函数拟合可以知道,92%的 Ni 颗粒集中在 $15\sim40$ nm 的直径范围内,平均颗粒直径为 27.7 nm,93%的碳纳米管直径集中在 $15\sim40$ nm 的范围内,平均直径为 28.6 nm. 进一步通过热分析仪计算可知,经 2 次生长的催化剂含碳纳米管 4.4%,约是 1 次生长碳纳米管含量 (2.0%)的两倍.

2.2 光催化剂的拉曼光谱

利用 Raman 光谱来考察生长碳纳米管的结构和组成对光催化活性的影响. 图 2 是对不同碳纳米管生长次数下的复合催化剂的 Raman 表征. 图中波数为 $1.585~{\rm cm}^{-1}$ 的峰是碳纳米管的石墨带,简称 G 带,是由于碳材料 ${\rm sp2}$ 轨道结构的 C-C 振动造成的;波数为 $1.340~{\rm cm}^{-1}$ 的峰是碳纳米管的无序带,简称 D 带,是由于C-C键扭曲的诱导振动造成的,反映了碳纳米管的



a. 1st-MWNT-TiO₂:Ni;b. 2nd-MWNT-TiO₂:Ni; c. 3rd-MWNT-TiO₂:Ni.

图 2 复合催化剂的 Raman 光谱图

Fig. 2 Raman spectra of MWNT-TiO $_2$: Ni composite catalysts

结构缺陷. 它们之间的相对强度比($I_{\rm D}/I_{\rm G}$)可以用来衡量碳纳米管的无序程度 $^{[12]}$. 通过计算可知,3 个复合催化剂 $a\sim c$ 的 $I_{\rm D}/I_{\rm G}$ 相对强度比逐渐变大,分别为 0.57,0.62 和 1.21. 其中 $1^{\rm st}$ -MWNT-TiO $_2$: Ni 的最小,表示它的碳纳米管有序度最高,有着最好的石墨化结构和导电性. 随着生长次数的增多碳纳米管的石墨化程度越来越差,但经前 2 次生长后的比值相差不大.

2.3 光催化剂的紫外-可见漫反射光谱

Ou 等^[9] 研究发现,经碳纳米管原位生长后的 MWNT-TiO₂:Ni 复合催化剂对紫外光和可见光的吸收能力大大增加,其吸收边延伸覆盖至整个可见光区,碳纳米管有利于提高催化剂对光的利用率,增加光催化制氢活性.并认为催化剂对光吸收性能的增强可能源于两个方面的原因:一方面是碳纳米管自身的吸收;另一方面可能是由于碳纳米管和 TiO₂ 存在的相互作

用,一定程度上类似于 SMSI 作用,在两者之间形成 MWNTs \parallel TiO₂ 异质结,促进了碳纳米管长程共轭的 π 轨道电子向 π^* 轨道跃迁以及 TiO₂ 中 O 的 n 轨道电子向碳纳米管的 π^* 轨道跃迁.

2.4 光催化活性考察及其机理分析

表1为系列复合催化剂光催化分解甲醇水溶液制 氢的活性. 当催化剂经过 2 次碳纳米管生长时,催化活 性最高达 2.1 mmol/h,对应光量子效率为 4.8%.由 活化能计算结果可知,随碳纳米管生长次数从1次增 加到 3 次时,反应活化能从 23.0 kJ/mol 降低到 15.3 kJ/mol,大约减少了 1/3. 这可能要归因于碳纳米管的 促进表面吸附 H(a) 物种的"溢流"、疏散及随后偶联 成 $H_2(g)$ 的脱氢作用^[13]. 甲醇作为空穴捕获剂提高了 光生电子-空穴对的分离效率. 结合其它表征手段的研 究,我们认为碳纳米管生长能提高 TiO₂ 光催化甲醇 水溶液制氢活性的原因有:1)具有良好石墨化结构的 碳纳米管能有效地转移 TiO₂ 的光生电子,使得复合 催化剂的电子-空穴对寿命变长,但碳纳米管的传递电 子能力是随生长次数的增多而逐渐下降的,因此两者 间的平衡是非常重要的,表现为2次生长碳纳米管的 复合催化剂光催化还原水制氢的活性最佳;2)生长碳 纳米管增加了催化剂的紫外光和可见光的吸收能力, 激发更多的光生电子;3)复合催化剂表面剩余的少量 金属 Ni 仍然起着部分制氢活性中心作用.

表 1 复合催化剂光催化分解甲醇水溶液制氢的 反应活化能和活性

Tab. 1 Activation energy and reaction rate for the different catalysts during photoreaction of methanol with MWNT-TiO₂: Ni composite catalysts

Catalysts	Activation energy/ (kJ • mol ⁻¹)	Rate of H_2 production/ (mmol • h^{-1})*	Quantum yield $\Phi/\sqrt[9]{6}$ *
1 st -MWNT- TiO ₂ :Ni	23.0	1.6	3.7
2^{nd} -MWNT- $\mathrm{TiO}_2:\mathrm{Ni}$	18.7	2. 1	4.8
3^{rd} -MWNT- $\mathrm{TiO}_{2}:\mathrm{Ni}$	15.3	1.9	4.2

注:* 反应温度为 30 ℃.

3 结 论

制备了具有较好光催化活性的新型 MWNT-TiO₂:Ni 复合催化剂,利用热重差热分析、SEM 和Raman 对其进行表征,并考察其紫外光催化分解甲醇水溶液制氢的活性,得出以下结论:

- 1) MWNTs 通过"氢溢流"效应,促进光生电子从 TiO_2 向 MWNTs 转移,能降低光生电子-空穴对的快速复合,同时 MWNTs 生长还有利于提高复合光催化剂对光的吸收能力.
- 2) 经过 2 次生长的 $MWNT-TiO_2$: Ni 复合催化剂(其 MWNTs 的含量为 4.4%)活性最高,紫外光催化活性达到 2.1 mmol/h,光量子效率为 4.8%.

参考文献:

- [1] Cui W Q, Xu C H, Zhang S D, et al. Hydrogen evolution by photocatalysis of methanol vapor over Ti-beta[J]. J Photochem Photobiol A, 2005, 175:89-93.
- [2] Fujishima A. Electrochemical photolysis of water at a semi-conductor electrode [J]. Nature, 1972, 238; 37–38.
- [3] Maeda K, Teramura K, Takata T, et al. Overall water splitting on $(Ga_{1-x}Zn_x)(N_{1-x}O_x)$ solid solution photocatalyst: relationship between physical properties and photocatalytic activity [J]. J Phys Chem B,2005,109:20504-20510.
- [4] Wunschiers R. Light dependent production of hydrogen gas by green algae-the future energy carrier in the Classroom?
 [J]. J Biol Educ, 2000, 34:214-217.
- [5] Wunschiers R, Lindblad P. Hydrogen in education-a biological approach [J]. Int J Hydrogen Energ, 2002, 27: 1131-1140.
- [6] Bowker M, James D, Stone P, et al. Catalysis at the metal-support interface; exemplified by the photocatalytic reforming of methanol on Pd/TiO₂[J]. J Catal, 2003, 217; 427-433.
- [7] Wang X C, Yu J C, Hou Y D, et al. Three-dimensionally ordered mesoporous molecular sieve films as solid superacid photocatalysts [J]. Adv Mater, 2005, 17;99-102.
- [8] Choi W Y, Termin A, Hoffmann M R. The role of metalion dopants in quantum-sized TiO₂: correlation between photoreactivity and charge-carrier recombination dynamics [J]. J Phys Chem, 1994, 98:13669-13679.
- [9] Ou Y, Lin J, Fang S, et al. MWNT-TiO₂: Ni composite catalyst: a new class of catalyst for photocatalytic H₂ evolution from water under visible light illumination [J]. Chem Phys Lett, 2006, 429:199-203.
- [10] Wang W, Serp P, Kalck P, et al. Photocatalytic degrada-

- tion of phenol on MWNT and titania composite catalysts prepared by a modified sol-gel method[J]. Appl Catal B, 2005.56:305-312.
- [11] Yu Y, Yu J C, Yu J G, et al. Enhancement of photocatalytic activity of mesoporous TiO₂ by using carbon nanotubes[J]. Appl Catal A, 2005, 289:186-196.
- [12] Chen C M, Dai Y M, Huang J G, et al. Intermetallic cata-
- lyst for carbon nanotubes (CNTs) growth by thermal chemical vapor deposition method[J]. Carbon, 2006, 44: 1808-1820.
- [13] Lueking A, Yang R T. Hydrogen spillover from a metal oxide catalyst onto carbon nanotubes-implications for hydrogen storage[J]. J Catal, 2002, 206:165-168.

Photocatalytic Production of H_2 from Aqueous Methanol Solution over a Novel MWNT-TiO $_2$: Ni Composite Catalyst

OU Yan^{1*}, LIN Jing-dong^{2*}, LIAO Dai-wei²

(1. Fareast Testing & Technology Services Co., Ltd., Quanzhou 362000, China; 2. College of Chemistry and Chemical Engineering, Xiamen University, Xiamen 361005, China)

Abstract: Multi-walled carbon nanotube, TiO₂ and Ni (MWNT-TiO₂: Ni) composite catalysts were prepared by a modified chemical vapor deposition. The nanoscaled composite materials with different MWNT contents were characterized by scanning electron microscopy (SEM) and Raman spectroscopy. The photoactivity was evaluated by photocatalytic production of H₂ from aqueous methanol solution. The presence of MWNTs greatly increases the production of H₂. An optimum MWNT content was found for 4.4% by the twice-growth MWNTs and corresponding quantum yield was 4.8%. In addition, the mechanisms of photocatalytic reaction are proposed that the "hydrogen spillover" effect of MWNTs and subsequent reduction activation energy are dominant; whereas the enhancement of photoabsorption capability and the suppression of recombination of e⁻/h⁺ pairs by MWNTs should also be considered. **Key words:** MWNTs: TiO₂: composite catalyst; methanol; photocatalytic production of H₂